

佐世保重工業 正員 高村 清
○正員 平井久義

1. まえがき

市街地を通過する高架橋の騒音防止策として、遮音壁を取付けた場合が多くなっている。今回我々は日本で最初の高さ5mの遮音壁を施工した。その構造は橋梁壁高欄にH型鋼支柱を片持梁として取付け、H型鋼の溝の中に、吸音材のグラスツールを、金属セルに収めた吸音板を落し込んで全体として壁を構成している。遮音壁支柱の強度設計は示方書に規定される風荷重により行なわれ、静的には十分な強度を有している。しかし、支柱は片持梁なのでかなりフレキシブルで、固有振動数は約8Hz程度と比較的の低く、又図-1に示す様に、二枚の壁が近接して風方向に対し直立しているので、風による振動、すなわち、後流渦等による振動が起るのではないかと思われた。しかし、この問題に対する実験的、観測例もなく、又計算手法も確立されていないため、風洞実験により確認することにした。

2. 実験方法

使用した風洞は断面が1m×1m、正方形のエリフエル型で、測定部は開鎖型である。模型は図-2に示す様に高さ140mm、長さ400mm、幅400mmの部分模型で実物に対する縮尺率は $\frac{1}{52.75}$ である。相似則の要求から、遮音壁部分はできるだけ軽く作ら必要があるため、材料としては支柱にアルミ板を、遮音壁にはバルサ板を使用した。この模型は適当な隔壁、支持装置により、倒立して風洞にセットした。迎角は模型全体を回転させる事により、任意の値を取る事が出来る。現象は支柱根元に貼付けられたストレンゲージ～ストレンメーターにより歪応答を、コンタクトレス変位計により変位応答を、熱線風速計により風速を計測し、全てデーターレコーダーに記録した。実験は風速を一定に固定し、迎角を±10°、±5°、±3°、0度の7通り変化させた。風速は6.03 m/sec, 8.5 m/sec, 11.06 m/sec, 15.0 m/secの4通りで、実物では、30.0 m/sec, 42.3 m/sec, 55.0 m/sec, 75.0 m/secに対応する。

3. 実験結果および若干の考察

実験の結果風下側の遮音壁に風方向の曲げ振動が発生した。図-3～図-5に代表的な歪応答記録を示す。これらの記録を観察すれば、

① 風上側には振動は発生せず、風下側にかなり激しい振動が生じた。これは風上側の遮音壁エッジで剥離した乱れた風が風下側に作用したためと考えられる。

② 各支柱は全く同相で振動している。つまり振り振動は生じていない。

③ 迎角が正になると規則性が増大し、固有振動数成分とストローハル数成分が卓越する。負になればストローハル数に対応する振動数の規則的な成分が卓越する。この原因は定性的には、次の様に考えられる。流れの観測によると図-6に示す様に剥離点からの自由流線の形は一定である。したがつて迎角が正では、風下側の壁は自由流線より下の激しく乱れた流れが作用して、不規則な振動をする。迎角が正の場合は、風下側の壁は自由

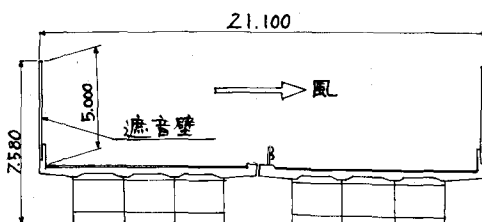


図-1 橋梁標準断面

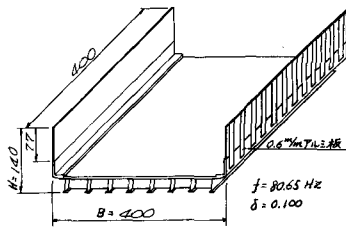


図-2 模型

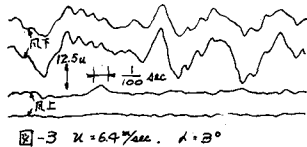


図-3 $u = 6.4 \text{ %sec. } \alpha = 3^\circ$

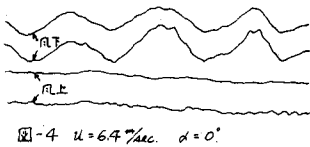


図-4 $u = 6.4 \text{ %sec. } \alpha = 0^\circ$

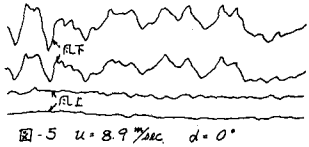


図-5 $u = 8.9 \text{ %sec. } \alpha = 0^\circ$

流線より上のほとんど静止又はゆるく逆流した流れの中に入りたため、後流側からのブイードバックを受けて、カルマン渦による振動が主成分となる。又迎角が同一で風速が増加すれば不規則性は増大する。応答のパワースペクトルを取れば以上の実を明確に示していくがここでは省略する。

4) 図-4は変動成分を抗力係数の形にまとめたものである。最大変動抗力係数は規則的な振動を行なつている迎角が直の場合については、図-4等のオシロ記録より、高さ方向には変動は一定として、計算した。二乗平均値はパワースペクトルを積分して求めた。データーは非常にバラツキが大きいが、先に述べた様に迎角が大きになれば抗力係数は大きくなる傾向が統み取れ、二乗平均値は迎角が正の場合 0.3~0.4、直の場合 0.1 程度と思われる。迎角 0°における最大変動抗力係数は約 0.18 で、文献 1 に示されている一様流の場合の 0.15 に大略一致する。又迎角 0°における最大値と二乗平均値の比は約 1.6 であつて、波形が完全な正弦波であればこの比は $\sqrt{2} = 1.41$ になる事から、大体納得できる値である。

5) 図-7に示しているが、ストローハル数は 0.12~0.14 程度の値を得た。この値は文献 2 の値等を参照すれば大体妥当な値と思われる。尚ストローハル数は歪応答のパワースペクトルより計算した。

6) 図-8に静的抗力係数を示す。風上側の値は迎角にしたがつてゆるやかに変化しているが、平均値は約 1.3 で平板の値に比較するとかなり小さい。風下側の値が直になつているのは、壁が風上側に移動することを意味する。この理由は先に述べた様に二枚の壁にはさまれた空間では流れは、もしちゆるく逆流してはいるが、風下側の壁の直後の流れは静止しているため、風上側に力を受けたものと考えられる。風上側と風下側の合計は平均 0.7 程度で文献 3 の値に大略等しい。

3 あとがき

本実験の模型の脣比は 2.8 である。文献 2 によれば脣 = 2.8 附近でストローハル数が急減するので、脣比を変えれば、かなり違つた結果が出てくると思われる。今後この実を確認する事にしたい。又相似則の要求から模型が大になり開洞の開基率が 14% になつた事、精度にやや物足りない事、模型の対数減衰率が大きい等の問題があるが、あえて報告するしだいである。

最後に、本実験に対し、貴重な助言、助力を頂いた諸氏に深く感謝します。

- | | | | |
|-------------|------------------------------------|--------|---------|
| 文献 1. 宮田利雄他 | 充腹断面系の変動抗、揚力、 | 土木講演集 | 1972-10 |
| 2. 中口 博也 | 矩形断面の柱の抗力に関する実験、 | 航空学会誌 | 1968-1 |
| 3. 中村泰治他 | 矩形及び H 型断面柱の空力 3 分力特性について、九大応力研究所報 | 1973-1 | |

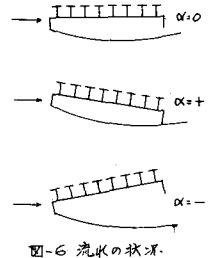


図-6 流れの状況

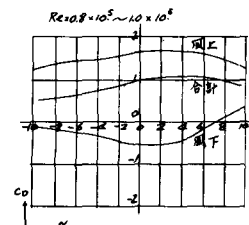
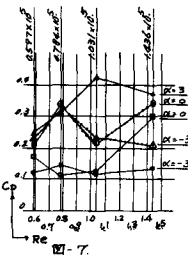


図-8